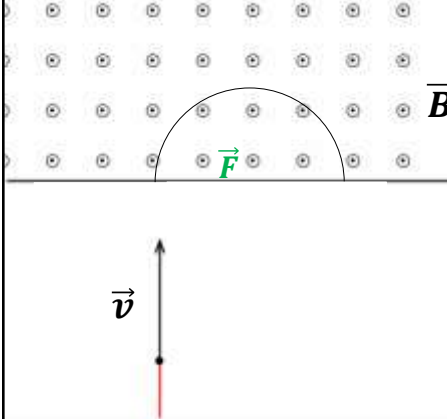
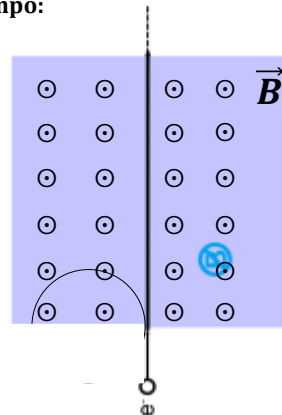


Quando uma carga elétrica entra numa região onde existe um campo magnético, fica sujeito a uma força magnética (força de Lorentz): $\vec{F} = q\vec{v} \times \vec{B}$

Caso de uma **carga positiva**, com v constante, a penetrar num campo magnético, perpendicularmente ao campo:

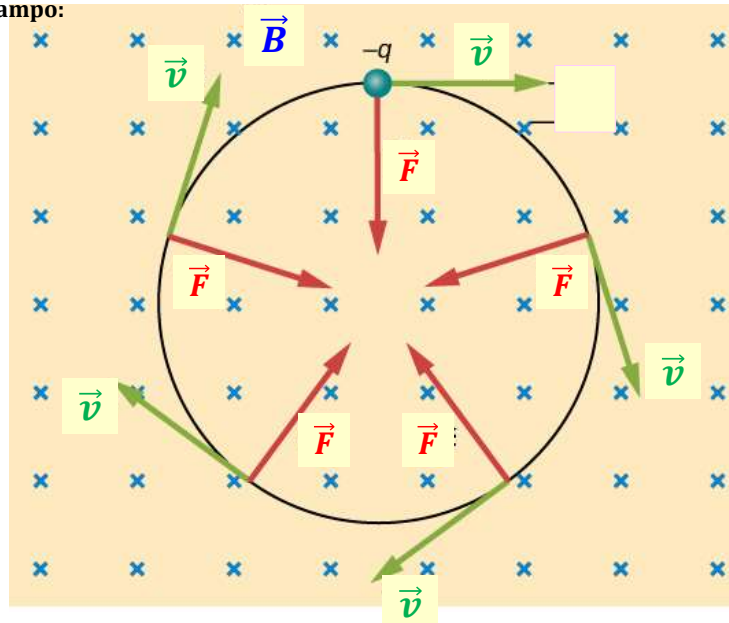


Caso de uma **carga negativa**, com v constante, a penetrar num campo magnético, perpendicularmente ao campo:



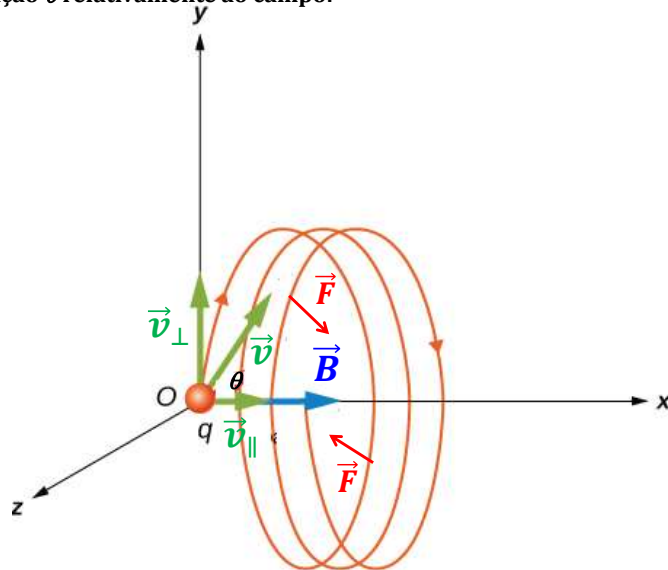
Electromagnetismo EE (2017/18)
Cap 6: Campo magnético (parte 2)

Caso de uma **carga negativa** num campo magnético com v constante e perpendicular ao campo:



Electromagnetismo EE (2017/18)
Cap 6: Campo magnético (parte 2)

Caso de uma **carga negativa** num campo magnético com v constante e com uma inclinação θ relativamente ao campo:



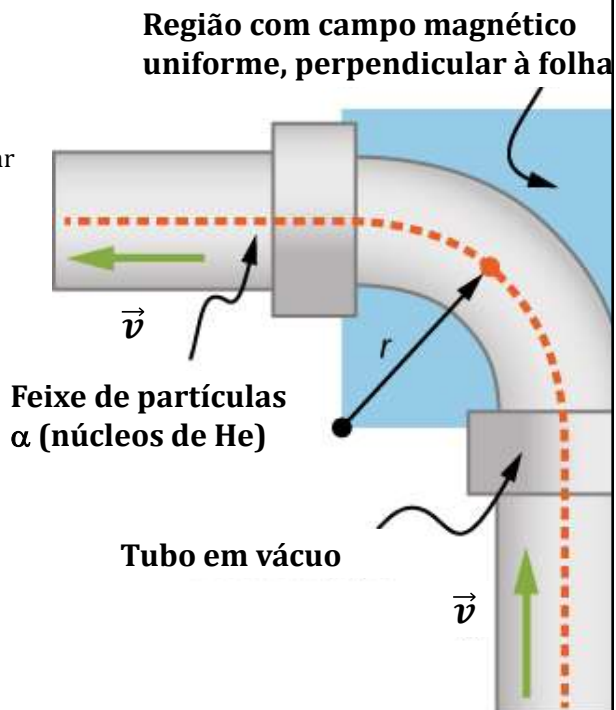
Electromagnetismo EE (2017/18)
Cap 6: Campo magnético (parte 2)

Checkpoint:

- Qual o sentido do campo magnético para que a partícula α consiga curvar no tubo?
- Calcule a velocidade das partículas α para que consigam curvar:

Dados:

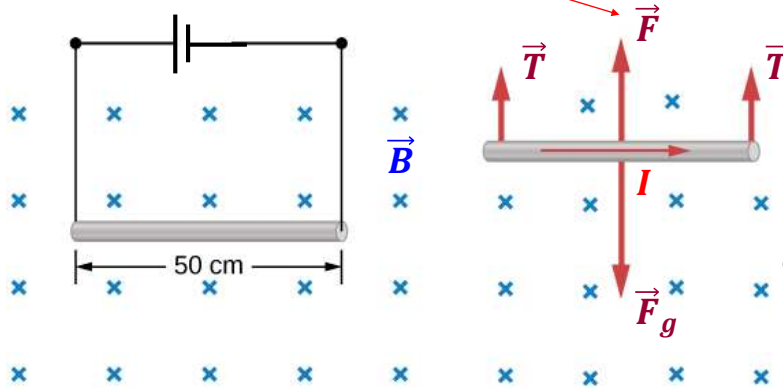
- $m_\alpha = 6.65 \times 10^{-27} \text{ kg}$
- $B = 1.1 \text{ T}$
- $r = 0.5 \text{ m}$



Electromagnetismo EE (2017/18)
Cap 6: Campo magnético (parte 2)

Quando um condutor, de comprimento L , e percorrido por uma corrente elétrica I , está numa região onde existe um campo magnético, fica sujeito a uma força magnética:

$$\vec{F} = I\vec{L} \times \vec{B}$$



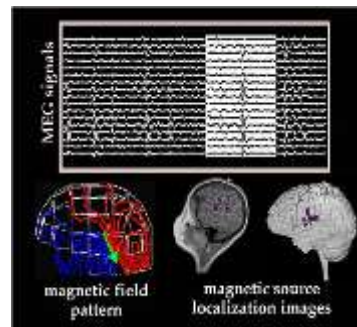
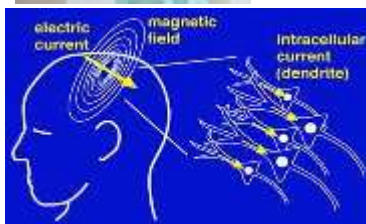
Electromagnetismo EE (2017/18)
Cap 6: Campo magnético (parte 2)

Camo Magnético (parte 2) Fontes de Campo Magnético

Encefalografia Magnética (*Magnetoencephalography* - MEG) técnica de diagnóstico médico, não invasiva, que faz o mapeamento da actividade cerebral, medindo o campo magnético produzido pelo cérebro.



Ao medir os campos magnéticos criados pela corrente elétrica nos neurónios, a MEG identifica a actividade do cérebro associada às várias funções humanas, em tempo real



Electromagnetismo EE (2017/18)
Cap 6: Campo magnético (parte 2)



Um disco rígido externo ligado a um computador funciona codificando magneticamente informações que podem ser armazenadas ou recuperadas rapidamente. Uma ideia chave no desenvolvimento de dispositivos digitais é a capacidade de produzir e usar campos magnéticos deste modo.

Electromagnetismo EE (2017/18)
Cap 6: Campo magnético (parte 2)

Intensidade de algumas fontes de campo magnético

Magnete de laboratório supercondutor forte	30 T
Magnete de laboratório convencional forte	2 T
Equipamento médico de ressonância magnética	1.5 T
Íman em barra	1×10^{-2} T
Superfície do Sol	1×10^{-2} T
Superfície da Terra	0.5×10^{-4} T
No interior do cérebro humano (devido a impulso nervoso)	1×10^{-13} T

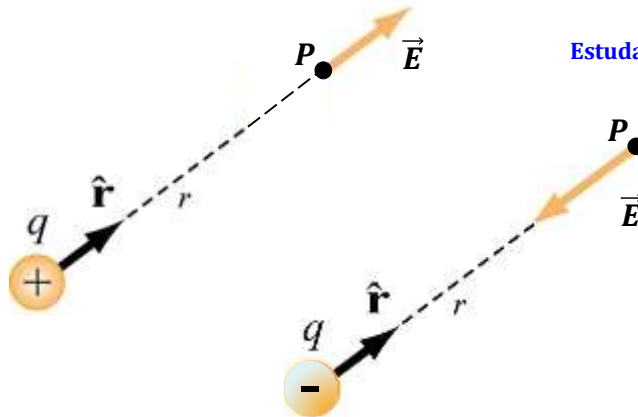
Electromagnetismo EE (2017/18)
Cap 6: Campo magnético (parte 2)

Cargas pontuais:

Uma carga elétrica (em repouso ou em movimento) cria, num ponto P, um campo elétrico dado por :

$$\vec{E} = \frac{1}{4\pi\epsilon_0} \frac{q}{r^2} \hat{r}$$

Estudamos isto no capítulo 1.



Electromagnetismo EE (2017/18)
Cap 6: Campo magnético (parte 2)

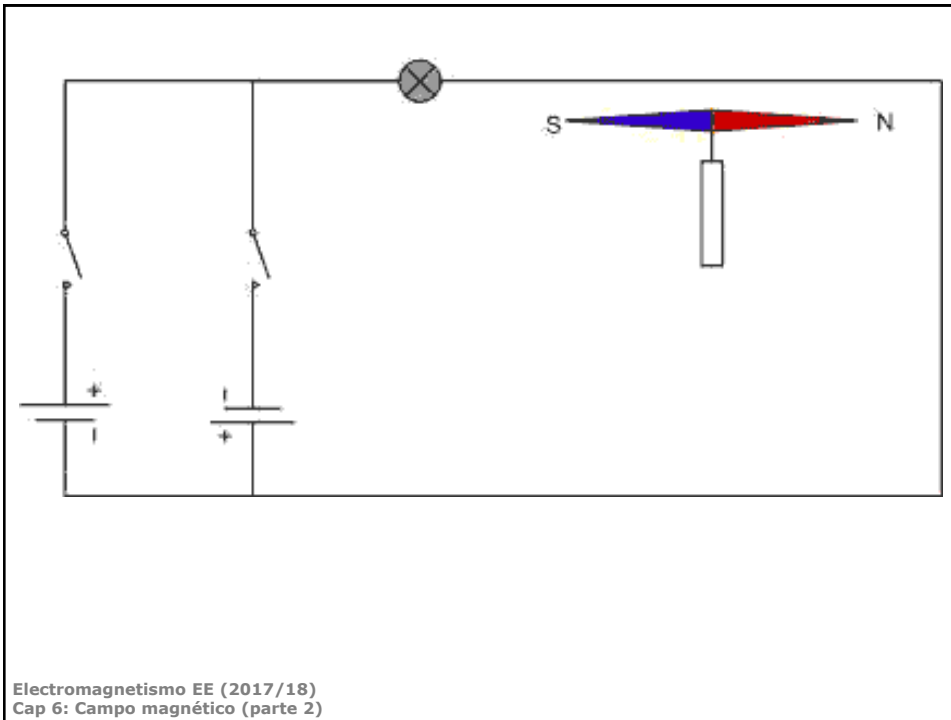
Experiência de Oersted

Hans Christian Oersted descobriu, em 1820, que se colocarmos uma bússola perto de uma corrente elétrica a agulha sofre uma deflexão.

A experiência de Oersted mostrou que as correntes elétricas (cargas com movimento orientado) produzem um campo magnético à sua volta.



Electromagnetismo EE (2017/18)
Cap 6: Campo magnético (parte 2)



Campo magnético criado por correntes elétricas:

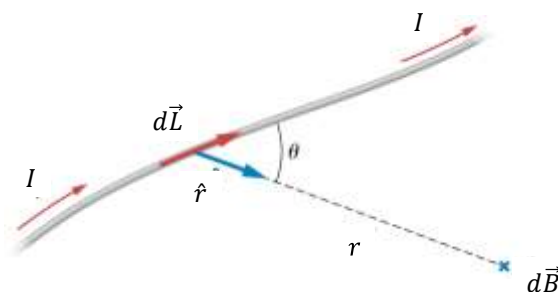
Método 1 (através da Lei de Biot-Savart)

Jean-Baptiste Biot e Felix Savart verificam que se um fio condutor transporta uma corrente elétrica constante, o campo magnético $d\vec{B}$ criado num ponto P, associado a um elemento do condutor $d\vec{L}$, tem as seguintes características:

Lei de Biot-Savart

$$d\vec{B} = \frac{\mu_0}{4\pi} \frac{I d\vec{L} \times \hat{r}}{r^2}$$

μ_0 - Permeabilidade magnética do
vazio $\approx 4\pi \times 10^{-7} \text{ TmA}^{-1}$



O campo magnético total no ponto P, originado por um condutor de dimensões finitas será:

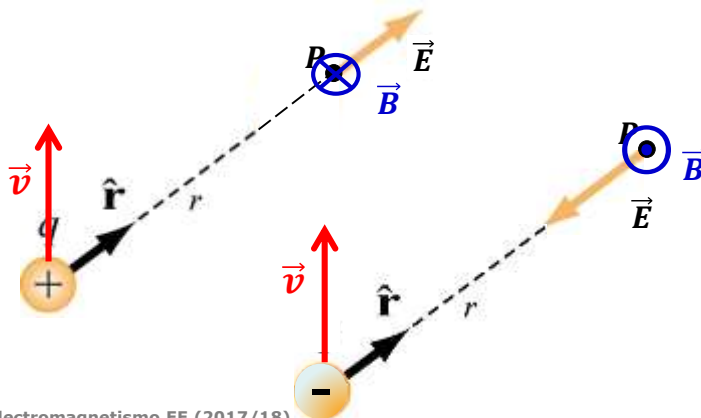
$$\vec{B} = \frac{\mu_0 I}{4\pi} \int \frac{d\vec{L} \times \hat{r}}{r^2}$$

Uma carga elétrica em movimento, além de um **campo elétrico**, cria num ponto P um **campo magnético** dado por:

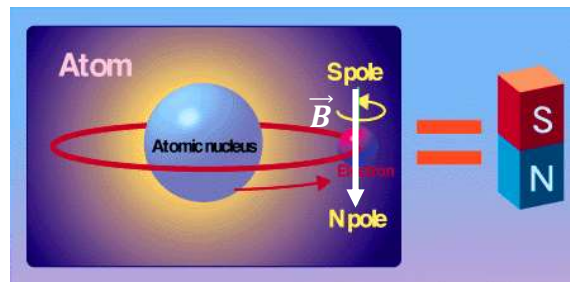
$$\vec{B} = \frac{\mu_0}{4\pi} \frac{q\vec{v} \times \hat{r}}{r^2}$$

Permeabilidade magnética do vázio

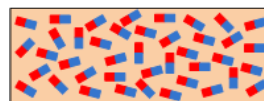
$$\mu_0 = 4\pi \times 10^{-7} \text{ T} \cdot \text{m/A} \approx 1.26 \times 10^{-6} \text{ T} \cdot \text{m/A}.$$



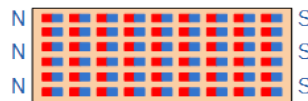
Electromagnetismo EE (2017/18)
Cap 6: Campo magnético (parte 2)



Magnetic Materials



Loose and Random
Magnetic Domains



Effect of Magnetization
Domains Lined-up in Series



Electromagnetismo EE (2017/18)
Cap 6: Campo magnético (parte 2)

Lei de Biot-Savart versus lei de Coulomb

$$d\vec{B} = \frac{\mu_0}{4\pi} \frac{Id\vec{L} \times \hat{r}}{r^2}$$

$$\vec{E}_p = k \frac{|q_1|}{r^2} \hat{r}_p$$

O elemento de corrente, $Id\vec{L}$, produz um campo magnético $d\vec{B}$. Uma carga pontual, q , em repouso, produz um campo elétrico \vec{E}_p .

O campo magnético criado por um elemento de corrente é inversamente proporcional a r^2 . O campo elétrico criado por uma carga pontual é, também, inversamente proporcional a r^2 .

O campo elétrico tem a direcção de r . O campo magnético é perpendicular a r .

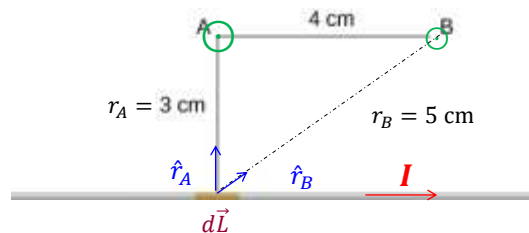
No caso de cargas pontuais:

$$\vec{B} = \frac{\mu_0}{4\pi} \frac{q\vec{v} \times \hat{r}}{r^2}$$

Electromagnetismo EE (2017/18)
Cap 6: Campo magnético (parte 2)

Checkpoint

Uma corrente de $I = 10 \text{ A}$ percorre um conductor linear (ver figura). Qual a magnitude, direcção e sentido do campo magnético no ponto A e no ponto B, devido ao segmento amarelo de fio, com comprimento de 0.5 mm ?



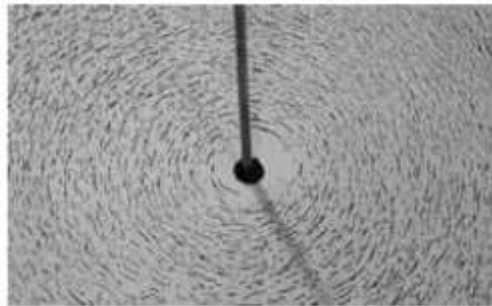
$$d\vec{B}(A) = \frac{\mu_0}{4\pi} \frac{Id\vec{L} \times \hat{r}_A}{r_A^2} \Rightarrow dB = 10^{-7} \times \frac{10 \times 5 \times 10^{-4} \times \sin 90^\circ}{(3 \times 10^{-2})^2} = 5.6 \times 10^{-7} \text{ T}$$

$$d\vec{B}(B) = \frac{\mu_0}{4\pi} \frac{Id\vec{L} \times \hat{r}_B}{r_B^2} \Rightarrow dB = 10^{-7} \times \frac{10 \times 5 \times 10^{-4} \times \sin 36.9^\circ}{(5 \times 10^{-2})^2} = 1.2 \times 10^{-7} \text{ T}$$

Electromagnetismo EE (2017/18)
Cap 6: Campo magnético (parte 2)

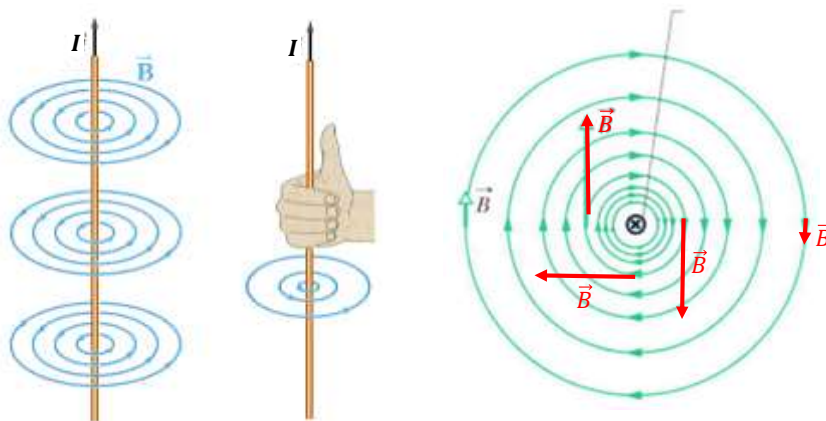
Aplicação da lei de Biot-Savart a alguns casos particulares

Campo magnético originado por um fio retilíneo comprido ("infinito")



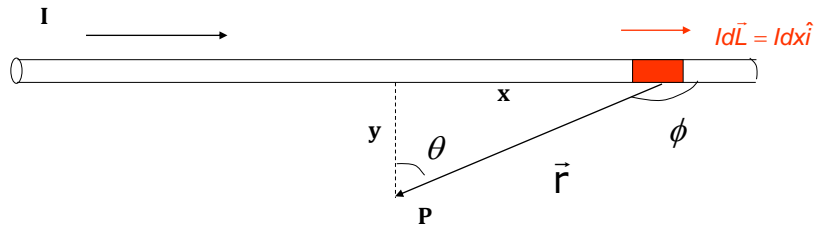
Electromagnetismo EE (2017/18)
Cap 6: Campo magnético (parte 2)

Sentido das linhas de campo e do campo magnético.



Electromagnetismo EE (2017/18)
Cap 6: Campo magnético (parte 2)

E qual a intensidade do Campo magnético originado por um fio retilíneo comprido?
Dedução:



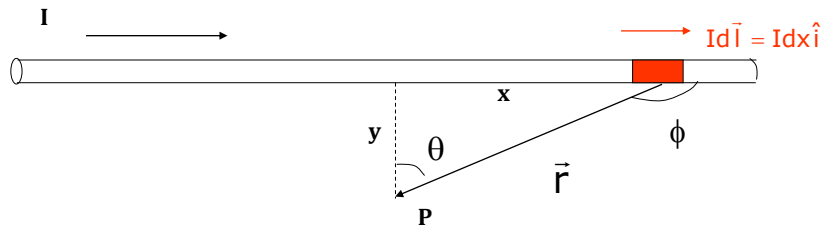
Da lei de Biot-Savart

$$d\vec{B} = \frac{\mu_0}{4\pi} \frac{Id\vec{L} \times \hat{r}}{r^2}$$

A intensidade do campo magnético no ponto P provocado pelo segmento dx percorrido pela corrente I .

$$dB = \frac{\mu_0 Idx}{4\pi r^2} \sin \phi = \frac{\mu_0 Idx}{4\pi r^2} \cos \theta$$

Electromagnetismo EE (2017/18)
Cap 6: Campo magnético (parte 2)

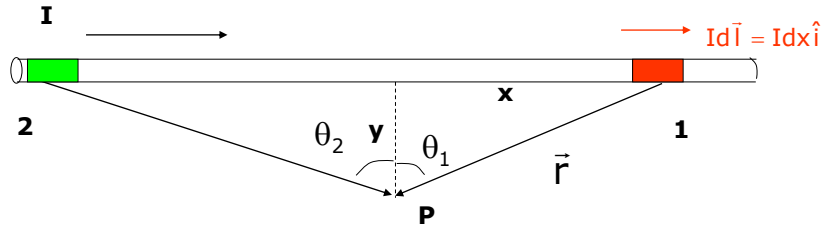


Em termos geométricos

$$x = y \tan \theta \Rightarrow dx = y \sec^2 \theta d\theta = y \frac{r^2}{y^2} d\theta = \frac{r^2}{y} d\theta$$

$$\Rightarrow dB = \frac{\mu_0 Idx}{4\pi r^2} \cos \theta = \frac{\mu_0 I}{4\pi r^2} \frac{r^2}{y} d\theta \cos \theta = \frac{\mu_0 I}{4\pi y} \cos \theta d\theta$$

Electromagnetismo EE (2017/18)
Cap 6: Campo magnético (parte 2)



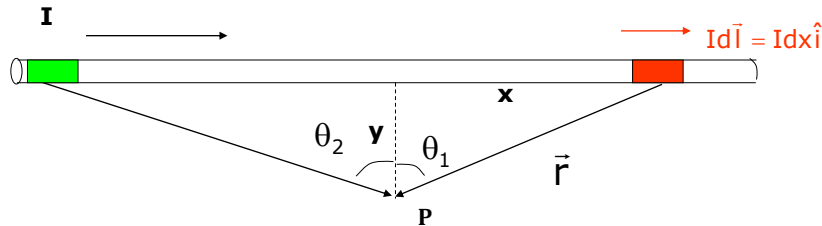
Contabilizando as contribuições de todos os elementos de condutor à direita da vertical de P ao condutor:

$$\vec{B} = \int_0^{\theta_1} \frac{\mu_0 I}{4\pi y} \cos \theta d\theta = \frac{\mu_0 I}{4\pi y} \sin \theta_1$$

Por raciocínio análogo para a parte esquerda do condutor retilíneo:

$$\vec{B} = \frac{\mu_0 I}{4\pi y} \sin \theta_2$$

Electromagnetismo EE (2017/18)
Cap 6: Campo magnético (parte 2)



O Campo magnético total no ponto P devido à dimensão total do condutor será (substituindo y por r, que corresponde à distância perpendicular de P ao fio condutor):

$$B = B_1 + B_2 = \frac{\mu_0 I}{4\pi r} (\sin \theta_1 + \sin \theta_2)$$

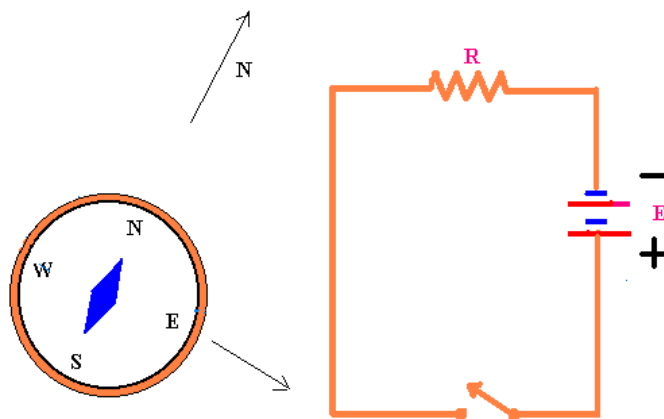
Se o fio for muito longo ("infinito"):

$$\theta_1 \wedge \theta_2 \cong 90^\circ$$

$$B = \frac{\mu_0 I}{2\pi r}$$

Electromagnetismo EE (2017/18)
Cap 6: Campo magnético (parte 2)

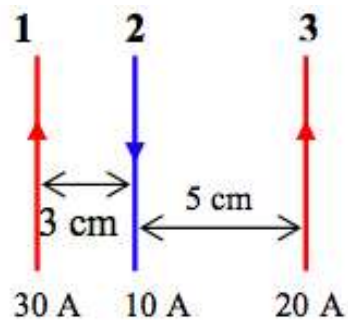
Explicação da experiência de Oersted



Electromagnetismo EE (2017/18)
Cap 6: Campo magnético (parte 2)

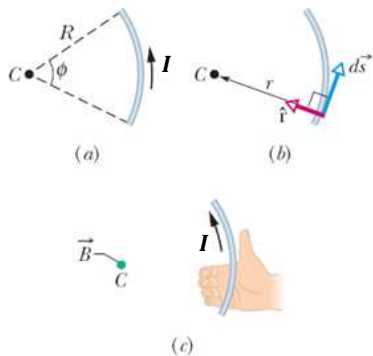
Checkpoint:

Considere os 3 fios longos representados na figura. Calcule o campo magnético a meio da distância entre os fios 2 e 3.



Electromagnetismo EE (2017/18)
Cap 6: Campo magnético (parte 2)

Campo magnético criado por um condutor curvilíneo (dedução)



$$d\vec{B} = \frac{\mu_0}{4\pi} \frac{Id\vec{L} \times \hat{r}}{r^2}$$

$$dB = \frac{\mu_0}{4\pi} \frac{Ids \sin \frac{\pi}{2}}{R^2} = \frac{\mu_0}{4\pi} \frac{Ids}{R^2}$$

$$B = \int dB = \int_0^S \frac{\mu_0}{4\pi} \frac{Ids}{R^2} = \int_0^\phi \frac{\mu_0}{4\pi} \frac{IRd\phi}{R^2}$$

$$B = \frac{\mu_0 I}{4\pi R} \int_0^\phi d\phi \quad \boxed{B = \frac{\mu_0 I \phi}{4\pi R}}$$

Com ϕ em radianos

Campo magnético criado no centro de uma espira circular (dedução)

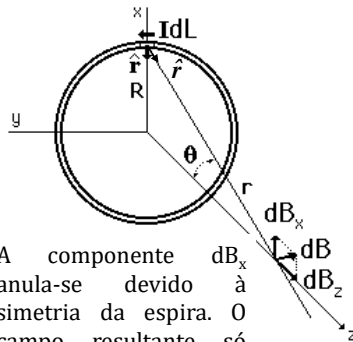


$$\phi = 2\pi$$

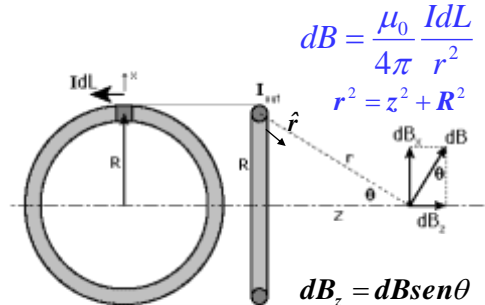
$$B = \frac{\mu_0 I 2\pi}{4\pi R} \quad \boxed{B = \frac{\mu_0 I}{2R}}$$

Electromagnetismo EE (2017/18)
Cap 6: Campo magnético (parte 2)

Campo magnético sobre o eixo que passa pelo centro de uma espira circular (dedução)



A componente dB_x anula-se devido à simetria da espira. O campo resultante só tem componente B_z



$$dB = \frac{\mu_0}{4\pi} \frac{IdL}{r^2}$$

$$r^2 = z^2 + R^2$$

$$dB_z = dB \sin \theta$$

$$\sin \theta = \frac{R}{\sqrt{R^2 + z^2}}$$

$$dB_z = \frac{\mu_0}{4\pi} \frac{IdL}{z^2 + R^2} \frac{R}{\sqrt{z^2 + R^2}} = \frac{\mu_0 IdL}{4\pi} \frac{R}{(z^2 + R^2)^{3/2}}$$

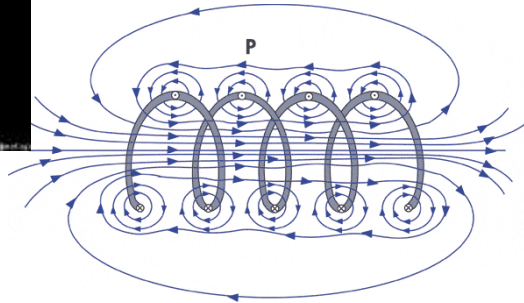
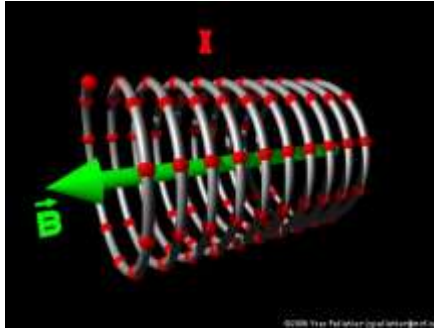
$$\boxed{B_z = \frac{\mu_0 I 2\pi}{4\pi} \frac{R^2}{(z^2 + R^2)^{3/2}}}$$

Campo magnético no eixo da espira

Electromagnetismo EE (2017/18)
Cap 6: Campo magnético (parte 2)

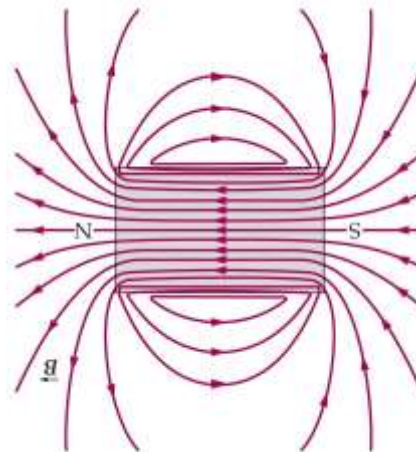
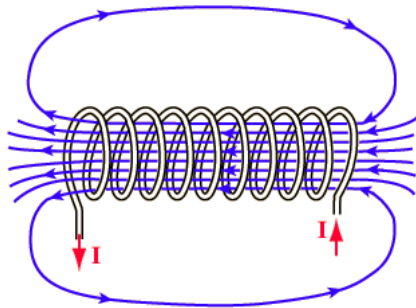
Campo magnético originado por um solenoide (dedução)

Um solenoide corresponde basicamente a uma série de espiras circulares colocadas lado a lado fortemente comprimidas (em forma de hélice). São dispositivos importantes no âmbito do electromagnetismo e usados para criar campos magnéticos fortes e uniformes (no interior do solenoide).



Electromagnetismo EE (2017/18)
Cap 6: Campo magnético (parte 2)

As linhas de campo magnético de um solenoide são idênticas às linhas de campo magnético de um magnete.



Electromagnetismo EE (2017/18)
Cap 6: Campo magnético (parte 2)

Consideremos um solenóide de comprimento L , com N espiras e percorrido por uma corrente I . O nº de espiras por unidade de comprimento é dado por:

$$n = \frac{N}{L}$$

Se o nº de espiras fosse 1, o campo magnético ao longo do eixo seria:

$$B_z = \frac{\mu_0 I}{2} \frac{R^2}{(z^2 + R^2)^{3/2}}$$

Consideremos um elemento do solenóide dz , a uma distância z da origem \Rightarrow há ndz espiras nesse elemento. O campo magnético criado por esse elemento num ponto do eixo da espira será dado por:

$$dB_z = \frac{\mu_0 n I dz}{2} \frac{R^2}{(z^2 + R^2)^{3/2}}$$

Electromagnetismo EE (2017/18)
Cap 6: Campo magnético (parte 2)

O Campo magnético na origem, considerando a totalidade do solenóide será dado por:

$$B_z = \frac{\mu_0 n I R^2}{2} \int_{-a}^{+a} \frac{dz}{(z^2 + R^2)^{3/2}}$$

$$\int_{-a}^{+a} \frac{dz}{(z^2 + R^2)^{3/2}} = \left. \frac{z}{R^2 \sqrt{z^2 + R^2}} \right|_{-a}^{+a}$$

$$= \frac{2a}{R^2 \sqrt{a^2 + R^2}}$$

$$B_z = \mu_0 n I \frac{a}{\sqrt{a^2 + R^2}}$$

Se $a \gg R \Rightarrow$

$$B_z \approx \mu_0 n I$$

Electromagnetismo EE (2017/18)
Cap 6: Campo magnético (parte 2)



Num equipamento de ressonância magnética (RM) um campo magnético intenso é gerado por um solenóide. O paciente fica rodeado pelo enrolamento de fio que é percorrido por correntes elevadas que percorrem fios supercondutores. O campo eletromagnético é usado para alterar o spin dos prótons no corpo do paciente. O tempo que demora os prótons a alinharem o spin ou a relaxar depende dos tecidos biológicos a que pertencem. A imagem permite verificar se a estrutura dos tecidos está normal, ou não.

Electromagnetismo EE (2017/18)
Cap 6: Campo magnético (parte 2)

Resumo

Lei de Biot-Savart permite calcular o campo magnético criado por um fio condutor que transporta uma corrente eléctrica constante

$$d\vec{B} = \frac{\mu_0}{4\pi} \frac{Id\vec{s} \times \hat{r}}{r^2}$$

Campo magnético criado por um condutor rectilíneo longo

$$B = \frac{\mu_0 I}{2\pi r}$$

Campo magnético criado por um condutor curvilíneo

$$B = \frac{\mu_0 I \phi}{4\pi R}$$

Campo magnético criado no centro de uma espira condutora circular

$$B = \frac{\mu_0 I}{2R}$$

Campo magnético criado ao longo do eixo de uma espira condutora circular

$$B_z = \frac{\mu_0 I}{2} \frac{R^2}{(z^2 + R^2)^{3/2}}$$

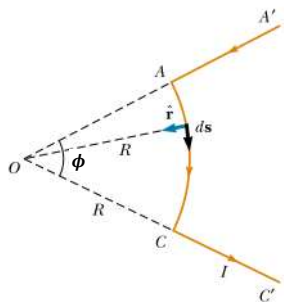
Campo magnético criado no eixo de um solenoide:

$$B_z \approx \mu_0 n I$$

Electromagnetismo EE (2017/18)
Cap 6: Campo magnético (parte 2)

Checkpoint

Determinar a magnitude, a direção e o sentido do campo magnético no ponto O, criado pela corrente que circula no fio A'C'.



B provocado pela porção AA':

$$\vec{B} = \frac{\mu_0 I}{4\pi} \int_{A'}^A \frac{d\vec{L} \times \hat{r}}{r^2} \quad d\vec{L} \parallel \hat{r} \Rightarrow B = 0$$

B provocado pela porção CC':

$$\vec{B} = \frac{\mu_0 I}{4\pi} \int_C^{C'} \frac{d\vec{L} \times \hat{r}}{r^2} \quad d\vec{L} \parallel \hat{r} \Rightarrow B = 0$$

B provocado pela porção AC

$$B = \frac{\mu_0 I \phi}{4\pi R}$$

\otimes
 \vec{B}

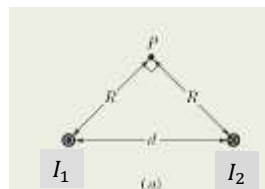


Sentido?

Electromagnetismo EE (2017/18)
Cap 6: Campo magnético (parte 2)

Checkpoint

Determinar o campo magnético (magnitude e sentido) no ponto P devido às correntes $I_1 = 15$ A e $I_2 = 32$ A, num fio longo separadas por uma distância $d = 5.3$ cm



Magnitude de B devido a cada uma das correntes.

$$B_1 = \frac{\mu_0 I_1}{2\pi R} = \frac{\mu_0 I_1}{2\pi d \cos 45^\circ} = 8.0 \times 10^{-5} \text{ T}$$

$$B_2 = \frac{\mu_0 I_2}{2\pi R} = \frac{\mu_0 I_2}{2\pi d \cos 45^\circ} = 1.7 \times 10^{-4} \text{ T}$$

Mas quais os sentidos? $B = \sqrt{B_1^2 + B_2^2} = 1.9 \times 10^{-4} \text{ T}$

$$\phi = \tan^{-1} \frac{B_1}{B_2} = \tan^{-1} \frac{I_1}{I_2} = 0.44 \text{ rad} = 25^\circ$$

Ou

$$\vec{B}_1 = -8.0 \times 10^{-5} \cos 45^\circ \hat{i} + 8.0 \times 10^{-5} \cos 45^\circ \hat{j}$$

$$\vec{B}_1 = -5.7 \times 10^{-5} \hat{i} + 5.7 \times 10^{-5} \hat{j} \text{ T}$$

$$\vec{B}_2 = 1.7 \times 10^{-4} \cos 45^\circ \hat{i} + 1.7 \times 10^{-4} \cos 45^\circ \hat{j}$$

$$\vec{B}_2 = 1.2 \times 10^{-4} \hat{i} + 1.2 \times 10^{-4} \hat{j} \text{ T}$$

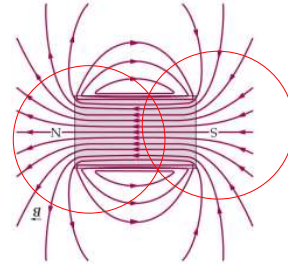
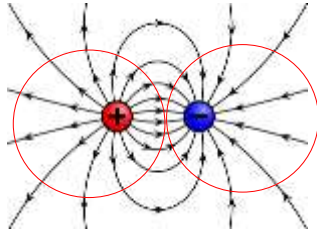
$$\vec{B} = 6.3 \times 10^{-5} \hat{i} + 1.8 \times 10^{-4} \hat{j} \text{ T}$$

Electromagnetismo EE (2017/18)
Cap 6: Campo magnético (parte 2)

Campo magnético criado por correntes elétricas:
Método 2 (através da Lei de Ampère)

Lei de Gauss do magnetismo

As linhas de campo magnético são linhas fechadas (as de campo elétrico começam e acabam em cargas).



Consequência?

Em geral:

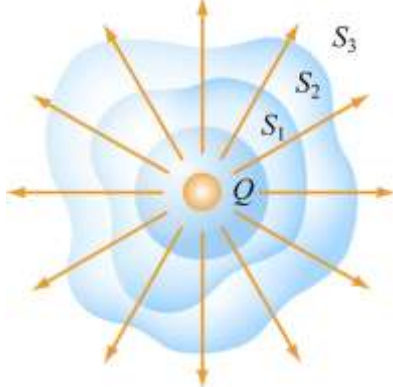
$$\phi_E = \oint \vec{E} \cdot d\vec{A} \neq 0$$

$$\phi_B = \oint \vec{B} \cdot d\vec{A} = 0$$

Electromagnetismo EE (2017/18)
 Cap 6: Campo magnético (parte 2)

Lei de Ampère

Lembrar: Lei de Gauss do campo elétrico:

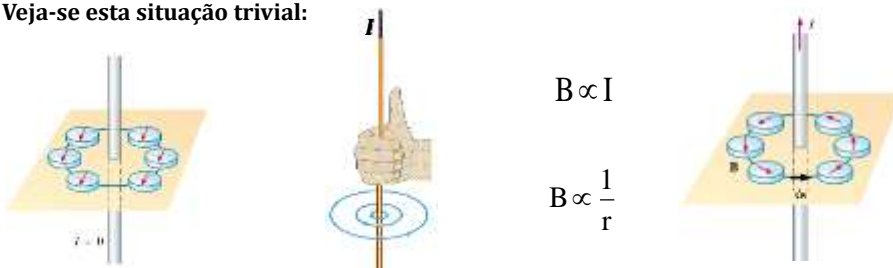


$$\oint \vec{E} \cdot d\vec{A} = \frac{q_{\text{int}}}{\epsilon_0}$$

O fluxo total do campo elétrico através das superfícies fechadas depende da carga no interior da superfície

Electromagnetismo EE (2017/18)
 Cap 6: Campo magnético (parte 2)

Veja-se esta situação trivial:



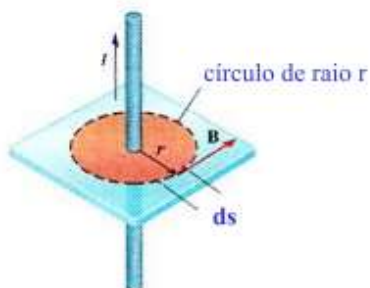
$$B \propto I$$

$$B \propto \frac{1}{r}$$

- As linhas de campo magnético são concêntricas ao fio e encontram-se num plano perpendicular ao fio
- A magnitude do campo magnético é constante em qualquer ponto de uma circunferência que esteja centrada no fio
- A direcção do campo magnético é tangente em cada ponto à linha de campo magnético (circunferência)

Electromagnetismo EE (2017/18)
Cap 6: Campo magnético (parte 2)

Calcule-se o produto $\vec{B} \cdot d\vec{s}$ sobre uma curva circular centrada num fio condutor longo que transporta uma corrente I :



Em todos os pontos da curva, o campo magnético é tangente à curva, assim:

$$d\vec{s} \parallel \vec{B} \Rightarrow \vec{B} \cdot d\vec{s} = B \cdot ds \cdot \cos 0 = B \cdot ds$$

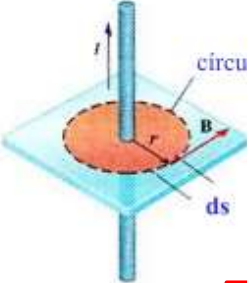
Como vimos atrás (pela lei de Biot-Savart) a magnitude do campo magnético, em qualquer ponto da circunferência é constante e é dado por:

$$B = \frac{\mu_0 I}{2\pi r}$$

Então:

$$\vec{B} \cdot d\vec{s} = \frac{\mu_0 I}{2\pi r} \cdot ds$$

Electromagnetismo EE (2017/18)
Cap 6: Campo magnético (parte 2)



círculo de raio r

$\vec{B} \cdot d\vec{s} = \frac{\mu_0 I}{2\pi r} \cdot ds$

Integrando ao longo da circunferência:


$$\oint \vec{B} \cdot d\vec{s} = B \oint ds = \frac{\mu_0 I}{2\pi r} \cdot 2\pi r$$

$\frac{\mu_0 I}{2\pi r} \cdot 2\pi r$

$$B \oint ds = \mu_0 I$$

Lei de Ampère


I – corrente que atravessa uma superfície no interior de uma linha fechada (neste caso o círculo limitado pela linha de campo circular)



Andre-Marie Ampère
(1775– 1836)

Electromagnetismo EE (2017/18)
Cap 6: Campo magnético (parte 2)

O resultado pode ser aplicado ao caso geral de uma curva fechada arbitrária atravessada por uma corrente constante:



$B \oint ds = \mu_0 I_{inc}$

Corrente que passa pela área limitada pela linha fechada.

Componente tangencial de B , somada sobre a linha fechada.

Tal como a lei de Gauss, a Lei de Ampère é sempre válida para qualquer curva fechada, e é útil em algumas situações particulares: situações envolvendo correntes com simetria elevada.

Electromagnetismo EE (2017/18)
Cap 6: Campo magnético (parte 2)

Aplicar a lei de Ampère

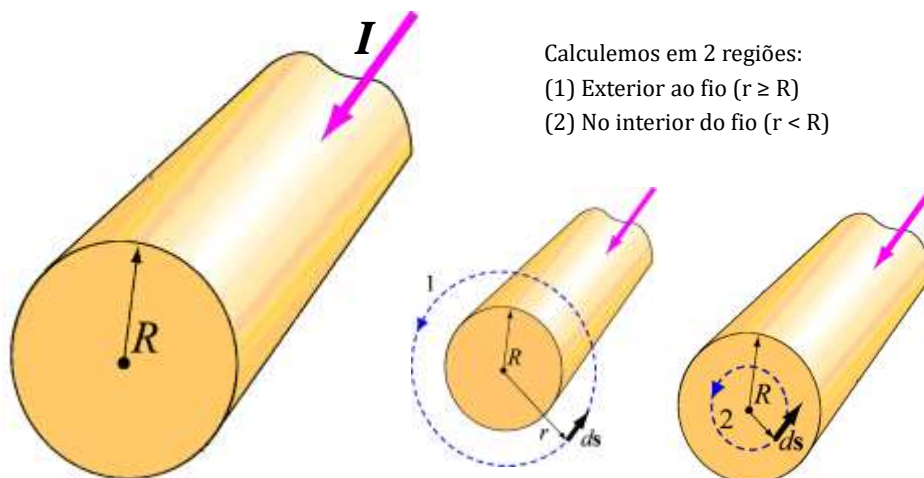
1. Identificar regiões em que se pretende calcular B . O sentido é dado pela regra da mão direita
2. Escolher a linha fechada (linha amperiana) em que B é nulo ou constante
3. Calcular $\oint \vec{B} \cdot d\vec{s}$
4. Calcular a corrente elétrica que passa através da superfície delimitada pela linha fechada
5. Aplicar a lei de Ampère para calcular B

$$\oint \vec{B} \cdot d\vec{s} = \mu_0 I_{inc}$$

Electromagnetismo EE (2017/18)
Cap 6: Campo magnético (parte 2)

Exemplo 1: Fio retilíneo “infinito” (fio muito longo)

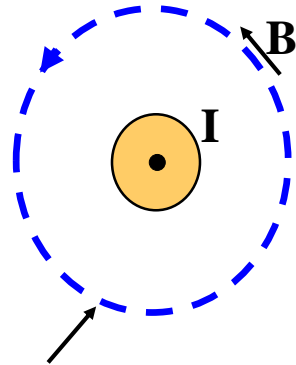
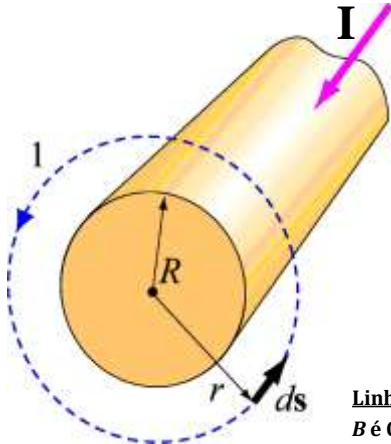
Um condutor cilíndrico com raio R e uma corrente I constante homogênea ($J = \text{constante}$). Calcular B originado pela corrente neste condutor em qualquer ponto



Electromagnetismo EE (2017/18)
Cap 6: Campo magnético (parte 2)

Região 1: exterior ao fio ($r \geq R$)

Simetria cilíndrica \rightarrow circunferência amperiana.
 \vec{B} com sentido anti-horário ou direto.

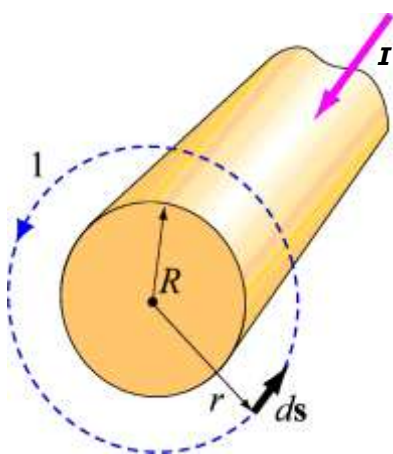


Linha amperiana:

B é Constante e Paralelo ao plano da linha fechada.
 I atravessa o plano delimitado pela linha amperiana

Electromagnetismo EE (2017/18)
 Cap 6: Campo magnético (parte 2)

Região 1: exterior ao fio ($r \geq R$)



$$\oint \vec{B} \cdot d\vec{s} = \mu_0 I_{inc}$$

$$\oint \vec{B} \cdot d\vec{s} = B \oint ds = B(2\pi r)$$

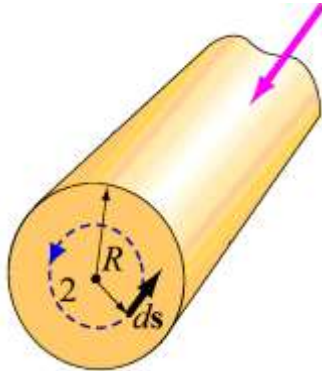
$$B(2\pi r) = \mu_0 I_{inc} = \mu_0 I$$

$$B = \frac{\mu_0 I}{2\pi r}$$

Sentido anti-horário

Electromagnetismo EE (2017/18)
 Cap 6: Campo magnético (parte 2)

Região 2: no interior do fio ($r < R$)



$$\oint \vec{B} \cdot d\vec{s} = \mu_0 I_{inc}$$

$$\oint \vec{B} \cdot d\vec{s} = B \oint ds = B(2\pi r)$$

$$B(2\pi r) = \mu_0 I_{inc} \quad B = \frac{\mu_0 I_{inc}}{2\pi r}$$

$$I_{inc} = I \frac{\pi r^2}{\pi R^2} = I \frac{r^2}{R^2}$$

$$B = \frac{\mu_0 I}{2\pi R^2} r^2$$

$$B = \frac{\mu_0 I r}{2\pi R^2}$$

Sentido anti-horário

Electromagnetismo EE (2017/18)
Cap 6: Campo magnético (parte 2)

Região 1: exterior ao fio ($r \geq R$)

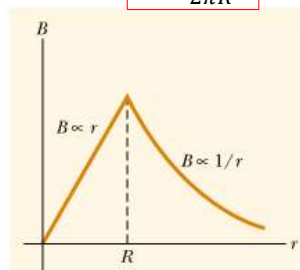
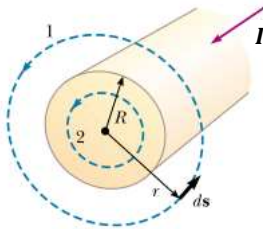
$$B = \frac{\mu_0 I}{2\pi r}$$

Sentido anti-horário

Região 2: no interior do fio ($r < R$)

$$B = \frac{\mu_0 I r}{2\pi R^2}$$

Sentido anti-horário



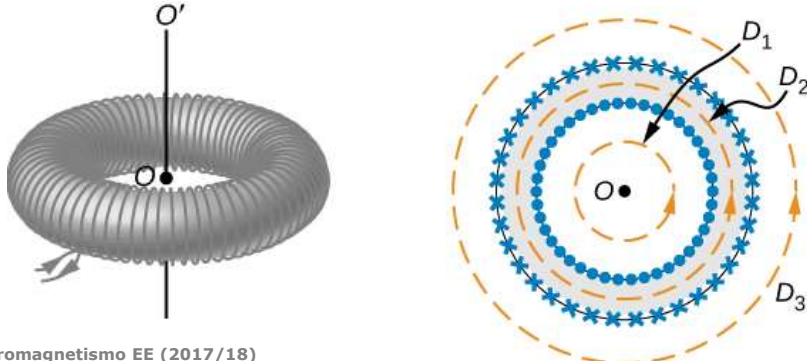
Electromagnetismo EE (2017/18)
Cap 6: Campo magnético (parte 2)

Exemplo 2: Condutor num enrolamento toroidal

Um condutor enrolado toroidalmente é percorrido por uma corrente I constante homogênea ($J = \text{constante}$). Calcular B originado pela corrente neste condutor em qualquer ponto

Calculemos em 3 regiões:

- (1) Na zona interna do enrolamento toroidal (D_1)
- (2) No interior do toróide (D_2)
- (3) Na zona externa do enrolamento toroidal (D_3)



Electromagnetismo EE (2017/18)
Cap 6: Campo magnético (parte 2)

No interior do toróide (D_2)

No toróide ("donut") estão N voltas de fio percorrido pela corrente I .

O campo magnético na circunferência no interior do toróide calculado por aplicação da lei de Ampère

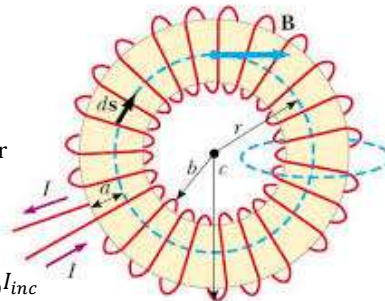
$$\oint \vec{B} \cdot d\vec{s} = B \oint ds = B(2\pi r)$$

$$B(2\pi r) = \mu_0 I_{inc}$$

A corrente total entre que atravessa qualquer circunferência concêntrica à azul, mas com $b < r < c$ (no interior do toróide é: $I_{inc} = NI$)

$$B2\pi r = \mu_0 I_{inc} = \mu_0 NI$$

$$B = \frac{\mu_0 NI}{2\pi r}$$



Consequências:

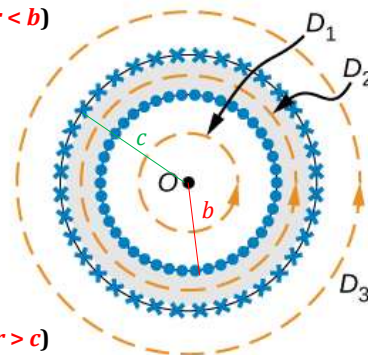
No interior do toróide ($b < r < c$) – A magnitude do campo magnético diminui com aumento de r . Mas se $c-b \ll r$, B é \sim constante

Electromagnetismo EE (2017/18)
Cap 6: Campo magnético (parte 2)

Na zona interna do enrolamento toroidal ($D_1 - r < b$)

A corrente total entre que atravessa qualquer circunferência concêntrica à D_1 mas com $r < b$ é **nula: $I_{inc} = 0$**

$$B = \frac{\mu_0 0}{2\pi r} \Rightarrow B = 0$$



Na zona externa do enrolamento toroidal ($D_3 - r > c$)

A corrente total entre que atravessa qualquer circunferência concêntrica à D_3 mas com $r > c$ é **nula: $I_{inc} = 0$** , porque metade das $2N$ correntes tem sentido para fora deste plano e a outra metade tem sentido para dentro deste plano

$$B = \frac{\mu_0(NI - NI)}{2\pi r} \Rightarrow B = 0$$

Electromagnetismo EE (2017/18)
Cap 6: Campo magnético (parte 2)

Confinamento das cargas

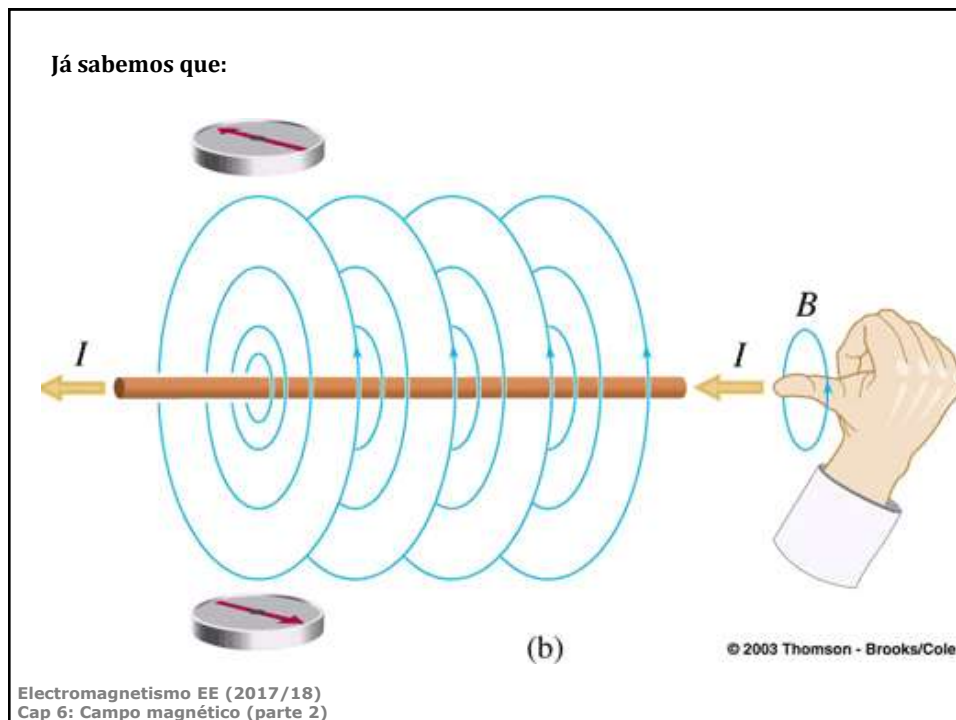
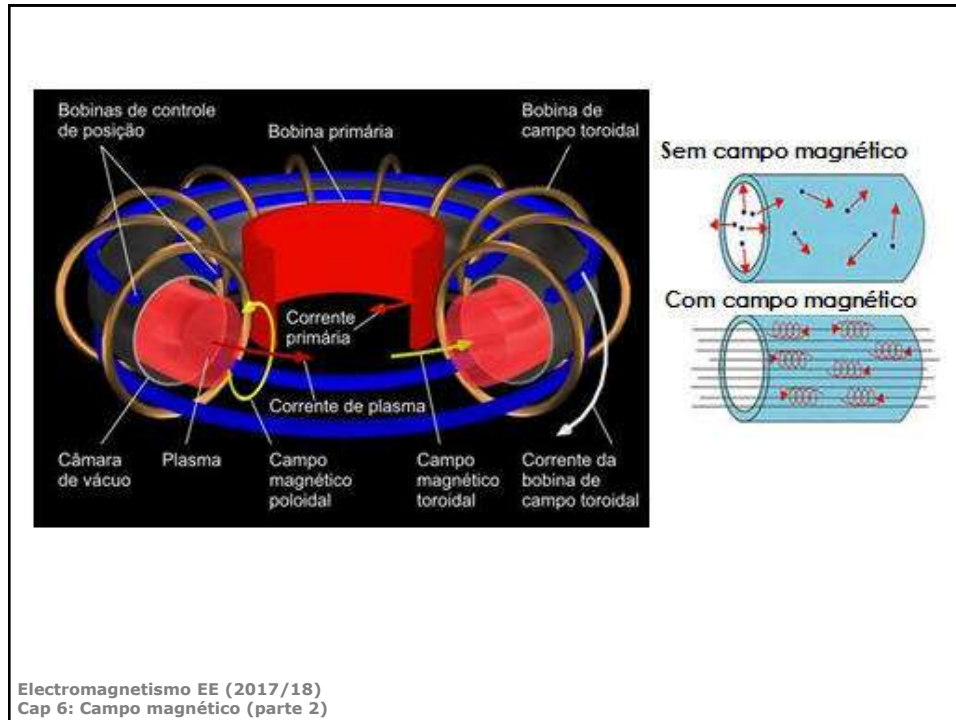
Tokamak – reactor experimental de fusão nuclear



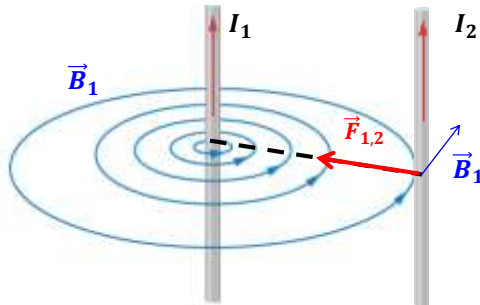
Contém cerca de 10 km de enrolamento de cobre (arrefecido a água), com corrente pulsada, que pode atingir picos de 73 000 A, produzindo campos magnéticos de 5.2 T durante 3 s.

Os campos magnéticos produzidos confinam as partículas carregadas.

Electromagnetismo EE (2017/18)
Cap 6: Campo magnético (parte 2)



Quais as consequências de colocar um fio condutor, com uma corrente elétrica I_2 , a uma distância d paralelamente a outro fio condutor com corrente elétrica I_1 ?



O segundo fio condutor fica sob a ação do campo magnético criado pelo primeiro fio. Que é que isso provoca?

A força magnética atua num fio com uma corrente:

$$\vec{F}_{1,2} = I_2 \vec{L} \times \vec{B}_1$$

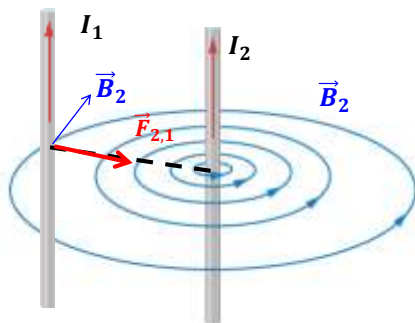
$$F_{1,2} = I_2 L B_1 \sin 90^\circ$$

$$F_{1,2} = I_2 L \frac{\mu_0 I_1}{2\pi d}$$

Fio 2 é puxado para o fio 1

Electromagnetismo EE (2017/18)
Cap 6: Campo magnético (parte 2)

Por outro lado o fio com uma corrente elétrica I_2 , também origina um campo magnético em torno de si B_2 ?



Agor o primeiro fio condutor fica sob a ação do campo magnético criado pelo segundo fio.

A força magnética atua num fio com uma corrente:

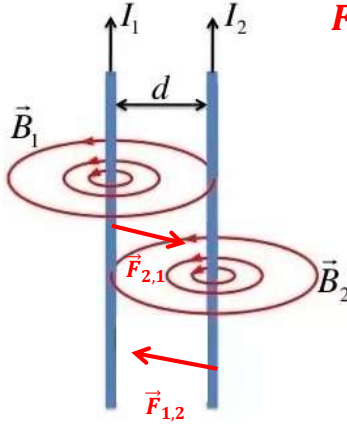
$$\vec{F}_{2,1} = I_1 \vec{L} \times \vec{B}_2$$

$$F_{2,1} = I_1 L B_2 \sin 90^\circ$$

$$F_{2,1} = I_1 L \frac{\mu_0 I_2}{2\pi d}$$

Fio 1 é puxado para o fio 2

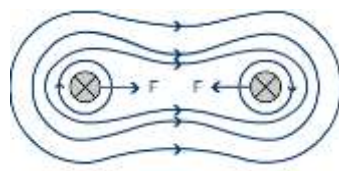
Electromagnetismo EE (2017/18)
Cap 6: Campo magnético (parte 2)



$$F_{1,2} = I_2 L \frac{\mu_0 I_1}{2\pi d} \quad F_{2,1} = I_1 L \frac{\mu_0 I_2}{2\pi d}$$

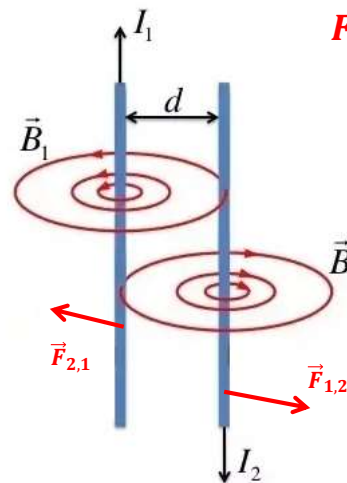
$$F_{1,2} = F_{2,1} = \frac{\mu_0 L I_1 I_2}{2\pi d}$$

As forças magnéticas entre dois fios paralelos que transportem **corrente no mesmo sentido** são **atrativas**



E se as correntes tiverem sentidos opostos?

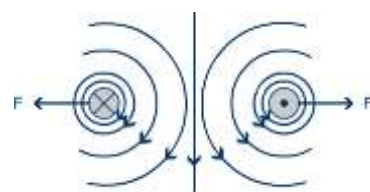
Electromagnetismo EE (2017/18)
Cap 6: Campo magnético (parte 2)



$$F_{1,2} = I_2 L \frac{\mu_0 I_1}{2\pi d} \quad F_{2,1} = I_1 L \frac{\mu_0 I_2}{2\pi d}$$

$$F_{1,2} = F_{2,1} = \frac{\mu_0 L I_1 I_2}{2\pi d}$$

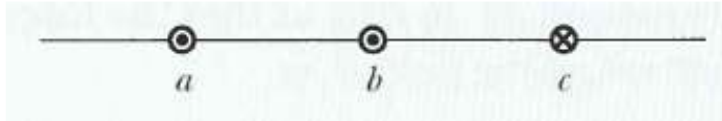
As forças magnéticas entre dois fios paralelos que transportem **corrente com sentidos opostos** são **repulsivas**



Electromagnetismo EE (2017/18)
Cap 6: Campo magnético (parte 2)

Checkpoint

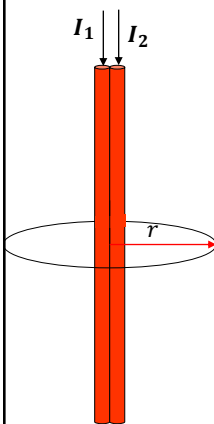
A figura representa 3 fios longos paralelos e equidistantes percorridos por correntes elétricas idênticas com sentidos para fora (a e b) e para dentro da folha (c). Ordene os fios por ordem decrescente de magnitude da força magnética resultante, devido às correntes dos outros dois fios.



Electromagnetismo EE (2017/18)
Cap 6: Campo magnético (parte 2)

Checkpoint

Calcular o campo magnético em qualquer ponto r suficientemente afastado dos fios, sabendo que ($r = 2$ m) :



$$I_1 = 10 \text{ A} \quad I_2 = 25 \text{ A}$$

$$\oint \vec{B} \cdot d\vec{s} = B \oint ds = B(2\pi r)$$

$$B = \frac{\mu_0 I_c}{2\pi r} \quad I_c = 35 \text{ A} \quad \downarrow$$

$$B = \frac{4\pi \times 10^{-7} \times 35}{2\pi \times 2} = 35 \times 10^{-7} \text{ T}$$

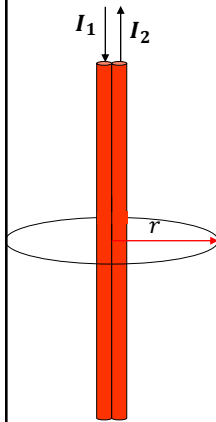
Sentido horário

$$\mu_0 = 4\pi \times 10^{-7} \text{ T} \cdot \text{m/A}$$

Electromagnetismo EE (2017/18)
Cap 6: Campo magnético (parte 2)

Checkpoint

Calcular o campo magnético em qualquer ponto r suficientemente afastado dos fios, sabendo que ($r = 2$ m) :



$$I_1 = 10 \text{ A}$$

$$I_2 = 25 \text{ A}$$

$$\oint \vec{B} \cdot d\vec{s} = B \oint ds = B(2\pi r)$$

$$B = \frac{\mu_0 I_c}{2\pi r}$$

$$I_c = 15 \text{ A} \quad \uparrow$$

$$B = \frac{4\pi \times 10^{-7} \times 15}{2\pi \times 2} = 15 \times 10^{-7} \text{ T}$$

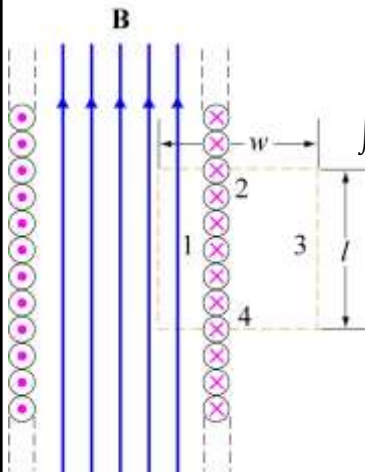
Sentido anti-horário

$$\mu_0 = 4\pi \times 10^{-7} \text{ T} \cdot \text{m/A}$$

Electromagnetismo EE (2017/18)
Cap 6: Campo magnético (parte 2)

Checkpoint

Calcular o campo magnético no interior do solenoide :



$$\begin{cases} \vec{B} \perp d\vec{s} & \text{Lados 2 e 4} \\ \vec{B} \approx \vec{0} & \text{Lado 3} \end{cases}$$

$$\int \vec{B} \cdot d\vec{s} = \int_1 \vec{B} \cdot d\vec{s} + \int_2 \vec{B} \cdot d\vec{s} + \int_3 \vec{B} \cdot d\vec{s} + \int_4 \vec{B} \cdot d\vec{s}$$

$$\int \vec{B} \cdot d\vec{s} = Bl + 0 + 0 + 0$$

$$I_c = \frac{N}{l} l I = n l I$$

$$\int \vec{B} \cdot d\vec{s} = Bl = \mu_0 I_c$$

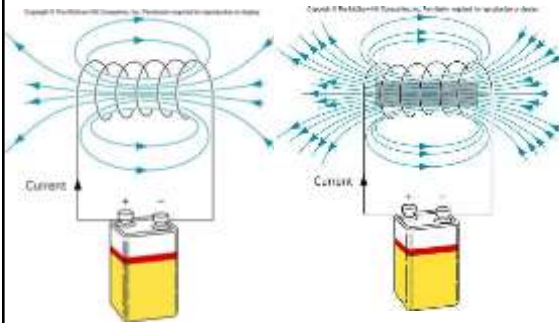
$$Bl = \mu_0 n l I$$

$$B = \mu_0 n I$$

Electromagnetismo EE (2017/18)
Cap 6: Campo magnético (parte 2)

Electromagnetes

Um electromagnete consiste num “núcleo” de Ferro (permeabilidade magnética elevada) colocado no interior de um enrolamento de fio (por exemplo um solenóide). O Campo Magnético no núcleo é superior ao que seria sem núcleo de Ferro e é proporcional ao nº de espiras do enrolamento.



Electromagnetismo EE (2017/18)
Cap 6: Campo magnético (parte 2)